

УДК 629.78 : 681.51

## АВТОНОМНОЕ ЦИФРОВОЕ УПРАВЛЕНИЕ МИНИ-СПУТНИКОМ ЗЕМЛЕОБОЗОРА В РЕЖИМАХ НАЧАЛЬНОЙ ОРИЕНТАЦИИ

© 2020 С.Е. Сомов<sup>1,2</sup>, Т.Е. Сомова<sup>2</sup>

<sup>1</sup>Самарский федеральный исследовательский центр Российской академии наук, Самара, Россия

<sup>2</sup>Самарский государственный технический университет, Самара, Россия

Статья поступила в редакцию 23.10.2020

Рассматриваются задачи автономного цифрового управления ориентацией космического аппарата и проверки работоспособности системы управления его ориентацией в начальных режимах. Представлены разработанные методы, алгоритмы и результаты имитации процессов управления ориентацией миниатюрного спутника землеобзора на солнечно-синхронной орбите. Для приведения ориентации космического аппарата из произвольной к требуемой применяется автономное угловое наведение и модульно ограниченное векторное цифровое управление с использованием вектора модифицированных параметров Родрига. Кратко обсуждаются проблемы верификации работоспособности системы управления ориентацией мини-спутника.

*Ключевые слова:* мини-спутник землеобзора, начальная ориентация, автономное цифровое управление

DOI: 10.37313/1990-5378-2020-22-5-84-93

*Работа поддержана РФФИ, грант 20-08-00779.*

### ВВЕДЕНИЕ

После отделения любого малого низкоорбитального космического аппарата (информационного спутника [1], космического робота [2] и т.д.) от верхней ступени ракеты-носителя такой космический аппарат (КА) начинает кувыркаться – вращаться с вектором угловой скорости  $\omega$  изменяемого направления в связанной с ним системе координат (ССК)  $Oxyz$ . Основное назначение начальных режимов системы управления ориентацией (СУО) состоит в приведении ориентации КА к заданной в орбитальной системе координат (ОСК)  $Ox^o y^o z^o$ . Затем космический аппарат с помощью собственной двигательной установки перемещается в заданное положение на целевой орбите и начинает выполнять свои задачи при его удержании на этой орбите [3].

В последнее десятилетие произошли существенные изменения в практической деятельности, связанной с использованием малых спутников для космического мониторинга Земли. Здесь радикальное отличие состоит в создании орбитальных группировок малых КА,

обеспечивающих непрерывное обновление видеоданных. Стоимость их разработки, а также изготовления и вывода на орбиту невелика, что объясняет превращение таких спутников в массовый продукт для ДЗЗ, а также для быстрой практической проверки новых космических технологий. Широкое использование малых спутников землеобзора стало также стимулом развития инновационных технологий, направленных на совершенствование их бортовых систем и целевой аппаратуры.

В данной статье рассматривается мини-спутник землеобзора (рис. 1) массой 250 кг, оснащенный телескопом с апертурой 0.4 м, который отделяется от верхней ступени ракеты-носителя на солнечно-синхронной орбите высотой 600 км. Предполагается, что такой миниатюрный КА оснащён системой управления движением,

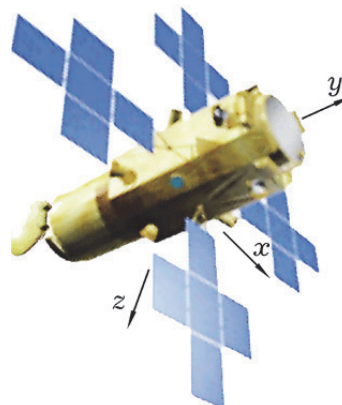


Рис. 1. Мини-спутник землеобзора

Сомов Сергей Евгеньевич, научный сотрудник отдела «Динамики и управления движением» СамНЦ РАН; научный сотрудник отдела «Навигации, наведения и управления движением» НИИ проблем надежности механических систем СамГТУ. E-mail: s\_somov@mail.ru  
Сомова Татьяна Евгеньевна, научный сотрудник отдела «Навигации, наведения и управления движением» НИИ Проблем надежности механических систем СамГТУ. E-mail: te\_somova@mail.ru

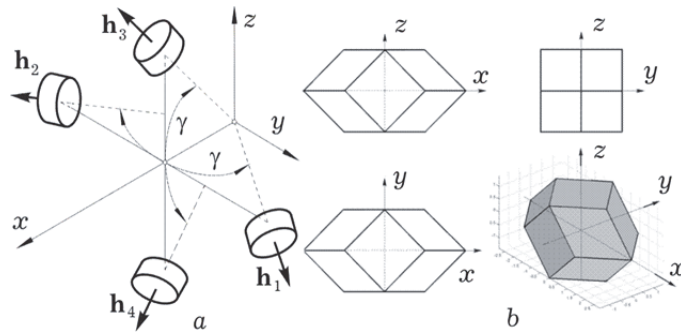


Рис. 2. Схема GE (a) и оболочка ее KM (b)

содержащей бесплатформенную инерциальную навигационную систему (БИНС) с коррекцией по сигналам спутников GPS/ГЛОНАСС и звездных датчиков, кластер гироскопических датчиков угловой скорости (ДУС), трехосный магнитометр (ММ), а также следующие бортовые приводы: двигательная установка (ДУ), кластер четырех двигателей-маховиков (ДМ) по схеме General Electric (GE), рис. 2, и магнитный привод (МП). Мы изучаем нелинейные проблемы управления КА в следующих режимах начальной ориентации (РНО):

(i) успокоение вращательного движения КА в инерциальной системе координат (ИСК) с помощью цифрового управления МП по сигналам кластера ДУС когда модуль вектора угловой скорости  $\omega = |\boldsymbol{\omega}| > \omega_1^*$  при заданном значении  $\omega_1^*$ ;

(ii) инициализация кластера ДМ, включение его в контур управления КА и последующее приведение КА по сигналам БИНС к требуемой ориентации в ОСК;

(iii) угловая стабилизация КА в ОСК при автономном цифровом управлении кластером ДМ, в том числе при его разгрузке от накопленного кинетического момента (КМ) с использованием МП, для подготовки СУО спутника к полётной верификации её работоспособности.

Методы решения таких задач без использования каких-либо ДУ ранее были представлены в [4]. Недостатками этих разработанных методов являются необходимость временной программы пространственного наведения КА с использованием прогноза терминальных граничных условий и большая длительность приведения углового положения спутника к требуемой ориентации в ОСК.

В отличие от такого подхода, здесь в развитие [5] решается задача автономного углового наведения КА при отслеживании значений вектора модифицированных параметров Родрига (МПР) эталонной модели с использованием модульно ограниченного вектора цифрового управляющего момента кластера ДМ в процессе приведения ориентации спутника из произвольной в ИСК к требуемой в орбитальной системе координат. Мы также кратко обсуждаем

проблемы проверки работоспособности СУО в режимах начальной ориентации.

### МОДЕЛИ И ПОСТАНОВКА ЗАДАЧИ

Минимально-избыточная схема GE кластера ДМ, рис. 2, обладает возможностью управлять ориентацией КА при отказе любого одного маховика. Здесь в ССК  $Oxyz$  оси вращения четырёх ДМ располагаются на поверхности конуса с углом полу-раствора  $\gamma$ . Далее используются стандартные обозначения  $\{\cdot\} = \text{col}(\cdot)$ ,  $[\cdot] = \text{line}(\cdot)$ ,  $\langle \cdot, \cdot \rangle$ ,  $(\cdot)^t$ ,  $[\times]$  и  $\circ, \sim$  для векторов, матриц и кватернионов,  $C_\gamma \equiv \cos \gamma$ ,  $S_\gamma \equiv \sin \gamma$ ,  $i = 1, 2, 3 \dots m \equiv 1 \div m$  и применяется вектор МПР  $\boldsymbol{\sigma} = \{\sigma_i\} = \mathbf{e} \text{tg}(\Phi/4)$  с традиционными обозначениями орта Эйлера  $\mathbf{e}$  и угла  $\Phi$  собственного поворота. Вектор  $\boldsymbol{\sigma}$  взаимно-однозначно связан с кватернионом  $\boldsymbol{\Lambda} = (\lambda_0, \boldsymbol{\lambda})$ ,  $\boldsymbol{\lambda} \equiv \{\lambda_i\}$  ориентации КА в ИСК прямыми  $\boldsymbol{\sigma} = \boldsymbol{\lambda} / (1 + \lambda_0)$  и обратными  $\lambda_0 = (1 - \sigma^2) / (1 + \sigma^2)$ ,  $\boldsymbol{\lambda} \equiv \{\lambda_i\} = 2\boldsymbol{\sigma} / (1 + \sigma^2)$  соотношениями.

Модель углового движения КА учитывает упругость его конструкции и имеет вид

$$\dot{\boldsymbol{\Lambda}} = \boldsymbol{\Lambda} \circ \boldsymbol{\omega} / 2; \mathbf{A}^\circ \{\dot{\boldsymbol{\omega}}, \ddot{\mathbf{q}}, \dot{\boldsymbol{\Omega}}\} = \{\mathbf{F}^\omega, \mathbf{F}^q, \mathbf{F}^r\}, \quad (1)$$

$$\mathbf{F}^\omega = -[\boldsymbol{\omega} \times] \mathbf{G} + \mathbf{M}^m + \mathbf{M}^d;$$

$$\mathbf{F}^q = -\mathbf{A}^q (\mathbf{V}_q \dot{\mathbf{q}} + \mathbf{W}_q \mathbf{q}); \mathbf{F}^r = \mathbf{m} - \mathbf{m}^f;$$

$$\mathbf{A}^\circ = \begin{bmatrix} \mathbf{J} & \mathbf{D}_q & J_r \mathbf{A}_\gamma \\ \mathbf{D}_q^t & \mathbf{A}^q & \mathbf{0} \\ J_r \mathbf{A}_\gamma^t & \mathbf{0} & J_r \mathbf{I}_4 \end{bmatrix};$$

$$\mathbf{A}_\gamma = \begin{bmatrix} C_\gamma & C_\gamma & C_\gamma & C_\gamma \\ S_\gamma & -S_\gamma & 0 & 0 \\ 0 & 0 & S_\gamma & -S_\gamma \end{bmatrix}.$$

Здесь  $\mathbf{G} = \mathbf{G}^\circ + \mathbf{D}_q \dot{\mathbf{q}}$  является вектором КМ электромеханической системы, где  $\mathbf{G}^\circ = \mathbf{K} + \mathbf{H}$  и  $\mathbf{K} = \mathbf{J}\boldsymbol{\omega}$ , столбцы  $\mathbf{H} = \{\mathbf{H}_i\}$ ,  $i = 1 \div 3$  и  $\mathbf{h} = \{\mathbf{h}_p\}$ ,  $\mathbf{h}_p = J_r \boldsymbol{\Omega}_p$ ,  $p = 1 \div 4$  представляют КМ кластера и отдельных ДМ, которые связаны

соотношением  $\mathbf{H} = \mathbf{A}_\gamma \mathbf{h}$ , где матрица  $\mathbf{A}_\gamma$  составлена из ортов осей ДМ в базисе  $\mathbf{B}$ ;

$$\begin{aligned} \mathbf{A}^q &= \text{diag}\{\mu_j\}; \mathbf{V}_q = \text{diag}\{\frac{\delta}{\pi} \Omega_j^s\}; \\ \mathbf{W}_q &= \text{diag}\{(\Omega_j^s)^2\}; \mathbf{M}^m = \{m_i^m\}; \\ \mathbf{m} &= \{m_p\}; \mathbf{m}^f = \{m_p^f\}; \end{aligned}$$

вектор механического момента МП  $\mathbf{M}^m = \{m_i^m\} = -\mathbf{L} \times \mathbf{B}$ , где вектор электромагнитного момента (ЭММ)  $\mathbf{L} = \{l_i\}$  с ограниченными компонентами  $|l_i| \leq l^m$  и вектор индукции магнитного поля Земли  $\mathbf{B} = \mathbf{bB}$  с ортом  $\mathbf{b}$  определены в ССК; векторы-столбцы  $\mathbf{m} = \{m_p\}$  и  $\mathbf{m}^f = \{m_p^f\}$  представляют управляющие моменты и моменты сил сухого трения по осям вращения ДМ, а вектор  $\mathbf{M}^d$  – внешние возмущающие моменты. Ресурсы каждого ДМ по управлению и кинетическому моментам ограничены,  $|m_p(t)| \leq m^m$ ,  $|h_p(t)| \leq h^m$ ,  $p = 1 \div 4$ . Далее используется вектор  $\mathbf{M}^r = \{M_i^r\}$  управляющего момента кластера ДМ в виде  $\mathbf{M}^r = -\mathbf{H}^*$ , где  $(\cdot)^*$  – символ локальной производной по времени.

Если КА считать свободным твердым телом, который управляется только кластером ДМ, и СУО сбалансирована по вектору суммарного кинетического момента (вектор  $\mathbf{G} \equiv \mathbf{0}$ ), то модель (1) пространственного углового движения КА принимает вид

$$\dot{\Lambda} = \Lambda \circ \omega / 2; \dot{\omega} = \mathbf{J}^{-1} \mathbf{M}^r = \boldsymbol{\varepsilon} \equiv \mathbf{u}. \quad (2)$$

Пусть для формирования управления  $\mathbf{u}$  применяются измерения кватерниона  $\Lambda(t)$ , которые используются для вычисления вектора МПР  $\boldsymbol{\sigma}(t)$ , и вектора угловой скорости  $\omega(t)$ . Кинематическому уравнению в (2) соответствует соотношение  $\dot{\boldsymbol{\sigma}} = (1 - \sigma^2)\omega / 4 + \boldsymbol{\sigma} \times \omega / 2 + \boldsymbol{\sigma} \langle \boldsymbol{\sigma}, \omega \rangle / 2$  для вектора МПР  $\boldsymbol{\sigma}$ , поэтому при векторе управляющего углового ускорения  $\mathbf{u} \equiv \boldsymbol{\varepsilon}$  модель (2) представляется в нормированной непрерывной векторной форме

$$\dot{\boldsymbol{\sigma}} = \frac{1}{4}(1 - \sigma^2)\omega + \frac{1}{2}\boldsymbol{\sigma} \times \omega + \frac{1}{2}\boldsymbol{\sigma} \langle \boldsymbol{\sigma}, \omega \rangle; \dot{\omega} = \mathbf{u} \quad (3)$$

с заданными начальными условиями  $\boldsymbol{\sigma}(t_0) = \boldsymbol{\sigma}_0$ ,  $\omega(t_0) = \omega_0$  при  $t_0 = 0$ , где при обозначении  $\mathbf{e}_0 = \mathbf{e}(t_0)$  вектор  $\boldsymbol{\sigma}_0 \equiv \mathbf{e}_0 \text{tg}(\Phi_0/4)$  является произвольным с условием  $|\Phi_0| < 2\pi$ .

Как известно, кватернион  $-\Lambda$  задает вращение КА на угол  $2\pi - \Phi$  вокруг орта Эйлера  $-\mathbf{e}$ , которое полностью совпадает с вращением этого объекта на угол  $\Phi$  вокруг орта Эйлера  $\mathbf{e}$ , т.е. значения  $\Lambda$  и  $-\Lambda$  совпадают. Следовательно, при  $\Phi = \pi$  возникает проблема двужначности кватерниона и требуется конкретизировать его значение вместе с направлением орта Эйлера. Для вектора МПР  $\boldsymbol{\sigma}$  такая проблема не проявляется  $\forall \Phi \in (-2\pi, 2\pi)$ . Поэтому далее принимается эталонная модель (3)

автономного пространственного наведения с вектором МПР  $\boldsymbol{\sigma}$ , вектором угловой скорости  $\omega$  и вектором ускорения  $\boldsymbol{\varepsilon} \equiv \mathbf{u}$ , который формально считается управлением. Будем считать, что вектор такого управления  $\mathbf{u} = \{u_i\}$  ограничен по модулю  $|\mathbf{u}(t)| \equiv u(t) \leq u^m$ ,  $u^m > 0$ , а вектор  $\omega(t) = \{\omega_i(t)\}$  ограничен по модулю  $|\omega(t)| \equiv \omega(t) \leq \omega^m$ ,  $\omega^m > 0$ , естественно  $\omega_0 = |\omega_0| \leq \omega^m$ .

При законе наведения КА, заданного кватернионом  $\Lambda^p(t)$ , векторами угловой скорости  $\omega^p(t)$  и углового ускорения  $\boldsymbol{\varepsilon}^p(t)$ , погрешность ориентации ССК  $Oxyz$  определяется кватернионом  $\mathbf{E} = (e_0, \mathbf{e}) = \tilde{\Lambda}^p \circ \Lambda$  при векторе  $\mathbf{e} = \{e_i\}$ , которому соответствуют матрица ошибки ориентации  $\mathbf{C}^e = \mathbf{I}_3 - 2[\mathbf{e} \times] \mathbf{Q}_e^t$ , где матрица  $\mathbf{Q}_e = \mathbf{I}_3 e_0 + [\mathbf{e} \times]$ , вектор модифицированных параметров Родрига  $\boldsymbol{\sigma}^e = \{\sigma_i^e\} = \mathbf{e}/(1 + e_0) = \mathbf{e}^e \text{tg}(\Phi^e/4)$  с ортом  $\mathbf{e}^e$  оси Эйлера и углом  $\Phi^e$  собственного поворота, а также вектор угловой погрешности  $\delta\phi = \{\delta\phi_i\} = \{4\sigma_i^e\}$ . При этом вектор ошибки  $\delta\omega(t) \equiv \omega^e(t)$  по угловой скорости вычисляется на основе соотношения  $\omega^e = \omega - \mathbf{C}^e \omega^p(t)$ .

Предположим, что дискретное измерение кватерниона  $\Lambda_l \equiv \Lambda(t_l)$  ориентации КА в ИСК выполняется БИНС в моменты времени  $t_l$ ,  $l \in N_0 \equiv [0, 1, 2, \dots]$  периодом  $T_p$ , в моменты времени  $t_k$ ,  $k \in N_0$  с периодом  $T_u$  формируется цифровое управление кластером ДМ, а цифровое управление МП действует  $\forall t \in [t_r, t_{r+1})$ ,  $r \in N_0$  с периодом  $T_u^m > T_u$ .

В данной статье решаются следующие задачи:

(i) разработка дискретных алгоритмов цифрового управления как МП, так и кластером ДМ с учетом особенностей их применения в СУО мини-спутника;

(ii) синтез нелинейного цифрового закона управления  $\mathbf{u}_k \equiv \mathbf{u}(\boldsymbol{\sigma}_k, \omega_k)$  в эталонной модели (2) & (3) автономного наведения при ограниченных модулях векторов управления и угловой скорости, который обеспечивает асимптотическую устойчивость замкнутой непрерывно-дискретной эталонной модели;

(iii) синтез нелинейного цифрового закона управления кластером ДМ, который после завершения режима успокоения спутника обеспечивает переход КА из произвольной ориентации в ИСК в требуемое угловое положение в ОСК;

(iv) компьютерная имитация работы СУО в режимах начальной ориентации геодезического мини-спутника на солнечно-синхронной орбите при его автономном угловом наведении и управлении;

(v) краткое обсуждение проблем проверки работоспособности СУО мини-спутника.

### ЦИФРОВОЕ УПРАВЛЕНИЕ МАГНИТНЫМ ПРИВОДОМ

Когда КА моделируется как твердое тело ( $\mathbf{M}^d = \mathbf{0}$ ,  $\mathbf{M}^r = \mathbf{0}$  и  $\mathbf{G} = \mathbf{K}$ ), управляемое только МП, то согласно (1) модель его динамики представляется в виде  $\dot{\mathbf{K}} = \mathbf{M} - \boldsymbol{\omega} \times \mathbf{K}$ , где  $\dot{\mathbf{K}} \equiv \mathbf{K}^* = \mathbf{J}\dot{\boldsymbol{\omega}}$  и внешний управляющий момент  $\mathbf{M} = \mathbf{M}^m$ . Для синтеза локально оптимальных непрерывных законов управления  $\mathbf{M} = \mathbf{M}(\boldsymbol{\omega})$  применялась функция Ляпунова  $v = \mathbf{K}^2 = \langle \mathbf{K}, \mathbf{K} \rangle$ . В результате установлено [4], что в режиме успокоения КА с минимальным принуждением  $M^2 = |\mathbf{M}|^2$  закон управления имеет вид  $\mathbf{M} = -a \mathbf{K} \mathbf{k}$  с ортом  $\mathbf{k} = \mathbf{K} / K$  и постоянным параметром  $a > 0$ , а закон управления  $\mathbf{M} = -m \mathbf{k}$  с постоянным параметром  $m > 0$  представляет управляющий момент, оптимальный по быстройдействию.

При цифровом управлении МП будем считать, что в моменты времени  $t_r = r T_u^m$  вектор индукции магнитного поля Земли  $\mathbf{B}_r \equiv \mathbf{B}(t_r) = B_r \mathbf{b}_r$  измеряется магнитометром. При формировании команды  $\mathbf{M}_r = -a \mathbf{K}_r$  для вектора механического момента МП на каждом полуинтервале времени  $t \in [t_r, t_{r+1})$  с заданным периодом  $T_u^m$  сначала определяется вектор потребной вариации импульса (*pulse*) управляющего момента

$$\begin{aligned} \mathbf{M}_r^p &\equiv \int_{t_r}^{t_{r+1}} \mathbf{M}(\tau) d\tau = -a \int_{t_r}^{t_{r+1}} \mathbf{K}(\tau) d\tau \\ &= -K_r (1 - \exp(-a T_u^m)) \mathbf{k}_r. \end{aligned}$$

Этот вектор представляется в виде  $\mathbf{M}_r^p = \mathbf{b}_r \times (\mathbf{M}_r^p \times \mathbf{b}_r) + \mathbf{b}_r \langle \mathbf{M}_r^p, \mathbf{b}_r \rangle$  и для энергетической экономичности МП назначается вектор  $\mathbf{M}_r^p = \mathbf{M}_r^{pm} \equiv \mathbf{b}_r \times (\mathbf{M}_r^p \times \mathbf{b}_r)$  с условием  $\langle \mathbf{M}_r^p, \mathbf{b}_r \rangle = 0$ .

Вектор потребной вариации импульса управляющего момента МП  $\mathbf{M}_r^{pm} \equiv -\Delta I_r^m \mathbf{k}_r$  с модулем  $\Delta I_r^m = K_r (1 - \exp(-a T_u^m))$  и ортом  $\mathbf{k}_r$  далее используется для формирования цифрового управления ЭММ  $\mathbf{L}_r = \{l_{ir}\}$  МП с периодом  $T_u^m$ . При этом определяется взаимная ориентация ортов  $\mathbf{b}_r$  и  $\mathbf{k}_r$ , если  $|\langle \mathbf{b}_r, \mathbf{k}_r \rangle| > \cos(\pi/3)$ , то на текущем периоде дискретности МП не включается, иначе формируется вектор ЭММ  $\mathbf{L}_r = (\Delta I_r^m / T_u^m) (\mathbf{b}_r \times \mathbf{k}_r) / B_r$  с ограниченными компонентами  $|l_{ir}| \leq 1^m$ .

### ЦИФРОВОЕ УПРАВЛЕНИЕ ДМ

В задаче идентификации момента сил сухого трения по осям вращения ДМ для простоты рассмотрим только один ДМ, при этом

индекс  $p$  не используется. Простейшая модель движения ДМ представляется в нормированном виде  $\dot{\Omega}(t) = a(t) - a^f(t)$ , где управляющее ускорение  $a = m / J_r$ , ускорение  $a^f(t) = a_o^f \text{sign}(\Omega(t)) \in [-a_o^f, a_o^f]$  отражает влияние момента сил сухого трения и при моменте инерции ДМ  $J_r$  параметр  $a_o^f = m_o^f / J_r = \text{const}$ . В предположении  $a^f(t) = a^f(t_s) = a_s^f = \text{const} \forall t \in [t_s, t_{s+1})$ , где  $t_{s+1} = t_s + T_q$  с периодом  $T_q < T_u$ , для получения оценки  $\hat{a}_s^f$  значения  $a_s^f$  применяется дискретный идентификатор Луенбергера

$$\begin{aligned} \hat{\Omega}_{s+1} &= \hat{\Omega}_s + (a_s - \hat{a}_s^f) T_s + g_1^f \delta \Omega_s; \\ \hat{a}_{s+1}^f &= \hat{a}_s^f + g_2^f \delta \Omega_s; \delta \Omega_{s+1} = \Omega_{s+1} - \hat{\Omega}_{s+1}, \end{aligned}$$

где постоянные параметры  $g_1^f$  и  $g_2^f$  определяются по явным соотношениям. Дискретная оценка момента сил сухого трения получается в виде  $\hat{m}^f(t_s) = \hat{m}_s^f = J_r \hat{a}_s^f$ .

Компенсационная схема разгрузки кластера ДМ основана на следующих положениях. Вычисляются потребная вариация модуля  $\Delta I_r^m$  и орт  $\mathbf{k}_r$  вектора потребного импульса механического момента МП в ССК. Далее рассчитывается постоянная команда  $\mathbf{M}_k^{\text{cu}} = \{m_{ik}^{\text{cu}}\} = \Delta I_r^m \mathbf{b}_r / T_u^m$  компенсации импульса механического момента МП, которая одновременно с периодом управления  $T_u^m$  поступает как на МП, так и с периодом управления  $T_u$  на кластер ДМ, но с обратным знаком.

Для кластера четырех ДМ принципиальная проблема заключается в распределении векторов его кинетического  $\mathbf{H}$  и управляющего  $\mathbf{M}^r = -\mathbf{H}^*$  моментов при избыточном числе двигателей-маховиков. При некоторых упрощениях эта проблема состоит в одновременном решении двух уравнений

$$\mathbf{A}_\gamma \mathbf{h} = \mathbf{H} \quad \forall \mathbf{H} \in \mathbf{R}^3, \forall \mathbf{h} \in \mathbf{R}^4;$$

$$\mathbf{A}_\gamma \mathbf{m} = \mathbf{H}^* = -\mathbf{M}^r \quad \forall \mathbf{M}^r \in \mathbf{R}^3, \mathbf{m} \in \mathbf{R}^4.$$

Используемый подход к разрешению этих уравнений основан на применении скалярной функции автоматической настройки кластера, которая позволяет однозначно распределять векторы  $\mathbf{H}$  и  $\mathbf{M}^r = -\mathbf{H}^*$  между четырьмя ДМ по явным аналитическим соотношениям [6]. Введем нормированный вектор КМ кластера  $\mathbf{h} \equiv \{x, y, z\} = \mathbf{H} / h^m = \mathbf{A}_\gamma \mathbf{h}$ , где  $x = x_1 + x_2$ ,

$$x_1 = C_\gamma (h_1 + h_2), \quad x_2 = C_\gamma (h_3 + h_4);$$

$$y = S_\gamma (h_1 - h_2), \quad z = S_\gamma (h_3 - h_4);$$

$$\mathbf{h} = \{h_p\}, \quad h_p = h_p / h^m, \quad |h_p| \leq 1.$$

Распределение этого вектора между четырьмя ДМ выполняется по закону

$$f_p = \tilde{x}_1 - \tilde{x}_2 + \rho(\tilde{x}_1\tilde{x}_2 - 1) = 0,$$

где  $0 < \rho < 1$ ;  $\tilde{x}_1 = x_1 / q_y$ ;  $\tilde{x}_2 = x_2 / q_z$ ,

$$q_s = (4C_\gamma^2 - s^2)^{1/2}, \quad s = y, z,$$

на основе соотношений

$$(i) \quad q \equiv q_y + q_z;$$

$$\Delta \equiv (q/\rho)(1 - (1 - 4\rho[(q_y - q_z)(x/2) + \rho(q_y q_z - (x/2)^2)]/q^2)^{1/2});$$

$$x_1 = (x + \Delta)/2, \quad x_2 = (x - \Delta)/2;$$

(ii) распределение КМ между ДМ в каждой паре по очевидным формулам;

(iii) вычисление столбца  $\mathbf{m} = \{m_p\}$  по явной формуле

$$\mathbf{m} = -(\{\mathbf{A}_\gamma, \mathbf{a}^f\})^{-1} \{(\mathbf{M}_k^r + \mathbf{M}_k^{cu}), h^m \text{sat}(\phi_p, \mu_p f_p)\} \quad (4)$$

с параметрами  $\phi_p, \mu_p > 0$  и компонентами строки  $\mathbf{a}^f = [a_p^f]$  в виде

$$a_{1,2}^f = \frac{2C_\gamma}{q_y^3} [2C_\gamma^2 \pm S_\gamma^2 h_2 (h_1 - h_2)] [1 + \rho \frac{C_\gamma (h_3 + h_4)}{q_z}];$$

$$a_{3,4}^f = \frac{2C_\gamma}{q_z^3} [2C_\gamma^2 \mp S_\gamma^2 h_4 (h_3 - h_4)] [1 + \rho \frac{C_\gamma (h_1 + h_2)}{q_y}];$$

с явным учетом команды  $\mathbf{M}_k^{cu}$  для приближенной компенсации влияния моментов МП при разгрузке кластера ДМ. В завершении формирования цифрового управления ДМ выполняется переопределение  $\mathbf{m}_k := \mathbf{m}_k + \hat{\mathbf{m}}_k^f$ , где  $\hat{\mathbf{m}}_k^f$  является столбцом, составленным из текущих оценок  $\hat{m}_k^f$  моментов сил сухого трения по осям вращения ДМ.

### ЭТАЛОННАЯ МОДЕЛЬ НАВЕДЕНИЯ

При использовании диадного произведения  $[\mathbf{a} \cdot \mathbf{b}]$  3-мерных векторов  $\mathbf{a} = \{a_i\}$  и  $\mathbf{b} = \{b_j\}$ , которое представляется как  $[\mathbf{a} \cdot \mathbf{b}] \equiv \mathbf{ab}^t = \mathbf{C} = \|c_{ij}\| = \|a_i b_j\|$ , прямые и обратные кинематические уравнения для вектора МПР  $\boldsymbol{\sigma}$  имеют вид  $\dot{\boldsymbol{\sigma}} = \mathbf{B}(\boldsymbol{\sigma})\boldsymbol{\omega}$  и  $\boldsymbol{\omega} = \mathbf{D}(\boldsymbol{\sigma})\dot{\boldsymbol{\sigma}}$ , где матрицы

$$\mathbf{B}(\boldsymbol{\sigma}) = \frac{1}{4}(1 - \sigma^2)\mathbf{I}_3 + \frac{1}{2}([\boldsymbol{\sigma} \times] + [\boldsymbol{\sigma} \cdot \boldsymbol{\sigma}]);$$

$$\mathbf{D}(\boldsymbol{\sigma}) = \mathbf{B}^{-1}(\boldsymbol{\sigma}) = (8/(1 + \sigma^2)^2)\mathbf{B}^t(\boldsymbol{\sigma}).$$

Компактное представление второй производной векторной функции  $\boldsymbol{\sigma}$  даётся соотношением

$$\ddot{\boldsymbol{\sigma}} = \frac{1}{2}(\langle \boldsymbol{\sigma}, \dot{\boldsymbol{\sigma}} \rangle \boldsymbol{\omega} + \frac{1}{2}(1 - \sigma^2)\boldsymbol{\varepsilon} + \dot{\boldsymbol{\sigma}} \times \boldsymbol{\omega} + \boldsymbol{\sigma} \times \boldsymbol{\varepsilon} + \langle \boldsymbol{\sigma}, \boldsymbol{\omega} \rangle \dot{\boldsymbol{\sigma}} + \langle \dot{\boldsymbol{\sigma}}, \boldsymbol{\omega} \rangle \boldsymbol{\sigma} + \boldsymbol{\sigma} \langle \boldsymbol{\sigma}, \boldsymbol{\varepsilon} \rangle).$$

В итоге модель (3) сводится к нелинейной управляемой системе в форме Бруновского

$$\dot{\boldsymbol{\sigma}} = \mathbf{v} \equiv \mathbf{b}(\boldsymbol{\sigma}, \boldsymbol{\omega}) + \mathbf{B}(\boldsymbol{\sigma})\mathbf{u},$$

где векторная функция

$$\mathbf{b}(\boldsymbol{\sigma}, \boldsymbol{\omega}) = ([(\mathbf{B}(\boldsymbol{\sigma})\boldsymbol{\omega}) \times] + [\boldsymbol{\sigma} \cdot \mathbf{B}(\boldsymbol{\sigma})\boldsymbol{\omega}]) \boldsymbol{\omega} / 2.$$

Применение методов линеаризации обратной связью, модального синтеза и векторных функций Ляпунова [7] для модели  $\ddot{\boldsymbol{\sigma}} = \mathbf{v}$  на едином желаемом спектре  $S_* = (-\alpha \pm j\beta)$  с  $j = \sqrt{-1}$  приводит к непрерывному нелинейному закону управления  $\mathbf{v} = -(k_\sigma \boldsymbol{\sigma} + k_\omega \dot{\boldsymbol{\sigma}}) = -(k_\sigma \boldsymbol{\sigma} + k_\omega \mathbf{B}(\boldsymbol{\sigma})\boldsymbol{\omega})$  с постоянными коэффициентами, который при обеспечении требуемой асимптотической устойчивости тривиального решения  $\boldsymbol{\sigma}(t) = \mathbf{0}$ ,  $\boldsymbol{\omega}(t) = \mathbf{0}$  представляется в дискретном виде

$$\mathbf{v}_k \equiv \{\mathbf{v}_k\} = -(k_\sigma^d \boldsymbol{\sigma}_k + k_\omega^d \mathbf{B}(\boldsymbol{\sigma}_k) \boldsymbol{\omega}_k).$$

Здесь при заданном времени регулирования  $T_r$  коэффициенты  $k_\sigma^d$  и  $k_\omega^d$  вычисляются по явным аналитическим соотношениям

$$\omega_* = 3/(\xi T_r); \quad \alpha = \xi \omega_*, \quad \beta = \omega_* \sqrt{1 - \xi^2};$$

$$a_1 = -2 \exp(-\alpha T_u) \cos(\beta T_u), \quad a_2 = \exp(-2\alpha T_u);$$

$$k_\sigma^d = (1 + a_1 + a_2)/T_u^2, \quad k_\omega^d = (3 + a_1 - a_2)/(2T_u),$$

которые справедливы  $\forall \xi > 0$ .

Предварительный непрерывный закон управления  $\tilde{\mathbf{u}} \equiv \{\tilde{u}_i\} = \tilde{\mathbf{u}}(\boldsymbol{\sigma}, \boldsymbol{\omega}) = \mathbf{D}(\boldsymbol{\sigma})(\mathbf{v} - \mathbf{b}(\boldsymbol{\sigma}, \boldsymbol{\omega}))$  обеспечивает равномерную асимптотическую устойчивость тривиального решения для модели (3), а его дискретная форма представлена соотношением

$$\tilde{\mathbf{u}}_k = -[\mathbf{D}(\boldsymbol{\sigma}_k)(k_\sigma^d \boldsymbol{\sigma}_k + \mathbf{b}(\boldsymbol{\sigma}_k, \boldsymbol{\omega}_k)) + k_\omega^d \boldsymbol{\omega}_k]. \quad (5)$$

При окончательном формировании цифрового управления  $\mathbf{u}_k(\boldsymbol{\sigma}_k, \boldsymbol{\omega}_k) \equiv \{u_k\}$  в очередной момент времени  $t_k$  учитываются ограничения на модуль вектора управления ( $u(t) \leq u^m$ ) и модуль вектора угловой скорости ( $\omega(t) \leq \omega^m$ ) по следующему простому алгоритму А:

1) по значению цифрового управления  $\tilde{\mathbf{u}}_k$  (5) в момент времени  $t_k$  вычисляется прогнозное значение вектора угловой скорости  $\boldsymbol{\omega}_k^q = \boldsymbol{\omega}_k + \tilde{\mathbf{u}}_k T_u$ , достигаемое в конце интервала времени длительностью  $T_u$ , и если  $|\boldsymbol{\omega}_k^q| > \omega^m$ , то управление  $\tilde{\mathbf{u}}_k$  переопределяется как  $\tilde{\mathbf{u}}_k = ((\omega^m \boldsymbol{\omega}_k^p / |\boldsymbol{\omega}_k^p|) - \boldsymbol{\omega}_k) / T_u$ ;

2) далее, если  $|\tilde{\mathbf{u}}_k| \equiv \tilde{u}_k > u^m$ , то формируется управление  $\mathbf{u}_k = u^m \tilde{\mathbf{u}}_k / \tilde{u}_k$ , иначе  $\mathbf{u}_k = \tilde{\mathbf{u}}_k$ .

Для проверки работоспособности разработанного цифрового закона управления в эталонной модели наведения рассмотрим простейшую каноническую задачу. Пусть для эталонной модели наведения (3), определенной в ИСК, в момент времени  $t_0 = 0$  заданы начальные условия

$$\boldsymbol{\sigma}_0 \equiv \mathbf{e}_0 \text{tg}(\Phi_0/4), \quad \Phi_0 = 120 \text{ град};$$

$$\mathbf{e}_0 = \{-0.165, 0.537, 0.826\}; \quad \boldsymbol{\omega}_0 = \mathbf{0},$$

закон цифрового управления  $\mathbf{u}_k(\boldsymbol{\sigma}_k, \boldsymbol{\omega}_k)$  с па-

раметрами  $T_r = 60T_u$ ,  $\xi = 0,95$ , периодом  $T_u = 0,25$  с представлен (5) с учетом алгоритма А и ограничения  $\omega^m = 1$  град/с,  $u^m = 0.3$  град/с<sup>2</sup>. Задача состоит в обеспечении совпадения ориентации ССК с ИСК, когда  $\sigma = \mathbf{0}$  и  $\omega = \mathbf{0}$ .

На рис. 3 представлены переходные процессы для компонентов векторов  $\sigma$ ,  $\omega$  и  $\varepsilon \equiv \mathbf{u}_k$ , а также для модулей векторов  $\omega$  и  $\varepsilon$  (черный цвет). Здесь и далее компоненты векторов всегда отмечаются цветами: синий по оси  $Ox$  крена, зелёный по оси  $Oy$  рыскания и красный по оси  $Oz$  тангажа. Эти результаты демонстрируют, что нелинейная модель (3) с цифровым законом управления  $\mathbf{u}_k(\sigma_k, \omega_k)$  асимптотически устойчива при ограничениях на модули векторов  $\omega$  и  $\mathbf{u}_k$ .

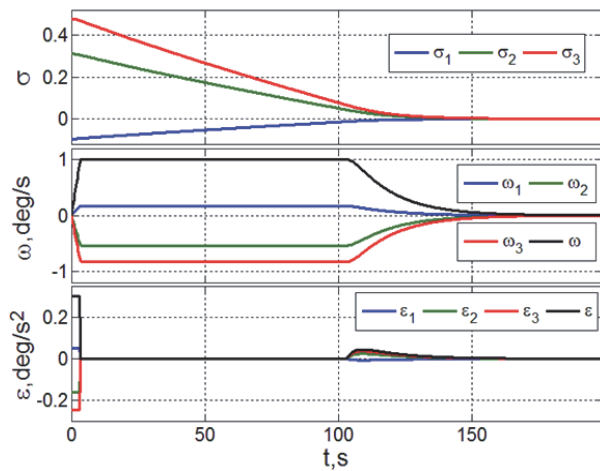


Рис. 3. Изменение векторов  $\sigma$ ,  $\omega$  и управления  $\varepsilon = \mathbf{u}_k$

### АВТОНОМНОЕ НАВЕДЕНИЕ И ЦИФРОВОЕ УПРАВЛЕНИЕ

Автономное наведение и цифровое управление основано на аналитических соотношениях, связывающих требуемые координаты состояния КА с измеренными координатами его углового перемещения. Задача заключается в синтезе законов автономного наведения и управления КА в начальных режимах ориентации, в том числе приведении КА из произвольной ориентации в ИСК к заданной в ОСК, для простоты совпадающей с этой системой координат. В таком случае кватернион  $\Lambda^o(t)$  определяет ориентацию ОСК в ИСК и получается закон наведения  $\Lambda^p = \Lambda^o$ ,  $\omega^p = \omega^o$  и  $\varepsilon^p = \varepsilon^o$ . В ОСК  $Ox^o y^o z^o$  ориентация КА определяется также углами Эйлера-Крылова  $\phi_1$  (крена),  $\phi_2$  (рыскания) и  $\phi_3$  (тангажа) в последовательности 312 элементарных поворотов. Эти углы составляют столбец  $\phi = \{\phi_i\}$  и используются при формировании матрицы  $\mathbf{C}^o = \mathbf{C}^e$ .

Все кинематические параметры ( $\Lambda^o$ ,  $\omega^o$ ,

$\varepsilon^o$ ) углового движения ОСК в ИСК формируются непосредственно на борту мини-спутника, сначала с периодом  $T_u^m$  при его успокоении в ИСК и затем с периодом  $T_u$  при использовании методов фильтрации, аппроксимации, интерполяции и экстраполяции [1]. С другой стороны, кватернион  $\Lambda$  ориентации КА в ИСК и вектор  $\omega$  его угловой скорости измеряются БИНС и кластером ДУС, поэтому и возникает возможность автономного наведения [5] и цифрового управления ориентацией мини-спутника в РНО.

Предположим, что КА отделяется от ракеты-носителя в момент времени  $t_0 = 0$ , когда вектор угловой скорости  $\omega(t)$  принимает значение  $\omega_0 = \omega(t_0)$  с полностью произвольным кватернионом  $\Lambda_0 = \Lambda(t_0)$  его ориентации в ИСК. Как подробно описано выше, цифровой вектор ЭММ  $\mathbf{L}_r = \{l_{ir}\}$  с ограниченными компонентами  $|l_{ir}| \leq 1^m$  начинает формироваться автономно, используя измерения магнитометра и кластера ДУС: генерируются значения вектора  $\mathbf{M}_r^m(t) = \{m_{ir}^m(t)\} \forall t \in [t_r, t_{r+1})$  для замедления вращения КА и режим его успокоения в ИСК заканчивается, когда выполнено условие  $|\omega(t)| \leq \omega_1^* \equiv \omega(t_1^*)$  в некоторый момент времени  $t_1^*$ . В тот же момент времени значения  $\Lambda_{*1} = \Lambda(t_1^*)$  и  $\omega_1^* = \omega(t_1^*)$  измеряются БИНС, которые далее используются при расчете начальных условий для приведения ориентации ССК к заданной в ОСК.

При  $t \geq t_1^*$  измеряемые  $\Lambda_k$ ,  $\omega_k$  и формируемые на борту КА переменные  $\Lambda_k^o$ ,  $\omega_k^o$ ,  $\varepsilon_k^o$  применяются для расчета значений  $\sigma_k \equiv \mathbf{e}_k \operatorname{tg}(\Phi_k/4)$ ,  $\mathbf{C}_k^e$ ,  $\sigma_k^e \equiv \mathbf{e}_k^e \operatorname{tg}(\Phi_k^e/4)$ ,  $\omega_k^e \equiv \delta\omega_k = \omega_k - \mathbf{C}_k^e \omega_k^o$  и  $\delta\phi_k$ . Это позволяет вычислить вектор цифрового управления кластером ДМ по соотношению

$$\mathbf{M}_k^r = \omega_k \times \mathbf{G}_k^o + \mathbf{J}(\mathbf{C}_k^e \varepsilon_k^o + [\mathbf{C}_k^e \omega_k^o \times] \omega_k + \tilde{\mathbf{m}}_k), \quad (6)$$

где вектор  $\mathbf{G}_k^o = \mathbf{K}_k + \mathbf{H}_k$ , а вектор  $\tilde{\mathbf{m}}_k$  формируется в соответствии с двумя этапами:

1)  $\forall t \in [t_1^*, t_2^*)$  пока  $\Phi^e(t) > \Phi_{*2}^e \equiv \Phi^e(t_2^*)$  при заданном значении  $\Phi_{*2}^e$  в некоторый момент времени  $t = t_2^*$ , вектор  $\tilde{\mathbf{m}}_k$  рассчитывается с использованием эталонной модели наведения по ошибке  $\sigma_k^e$  вектора МПР как

$$\tilde{\mathbf{u}}_k^e = -[\mathbf{D}(\sigma_k^e)(k_\sigma^d \sigma_k^e + \mathbf{b}(\sigma_k^e, \omega_k^e)) + k_\omega^d \omega_k^e], \quad (7)$$

но с учетом общих ограничений на модули векторов  $\omega$  и  $\mathbf{u}_k$  в алгоритме А, см. также (5);

2)  $\forall t \geq t_2^*$  стабилизирующий вектор  $\tilde{\mathbf{m}}_k$  формируется так: выполняется фильтрация значений вектора углового рассогласования  $\varepsilon_l = -\delta\phi_l$ ,  $l \in N_0$  с периодом  $T_p$  и результи-

рующие векторы  $\boldsymbol{\varepsilon}_k^f$ ,  $k \in N_0$  используются для вычисления значений вектора  $\tilde{\mathbf{m}}_k$  по соотношениям

$$\mathbf{g}_{k+1} = \mathbf{B}\mathbf{g}_k + \mathbf{C}\boldsymbol{\varepsilon}_k^f; \tilde{\mathbf{m}}_k = \mathbf{K}(\mathbf{g}_k + \mathbf{P}\boldsymbol{\varepsilon}_k^f), \quad (8)$$

где при  $d_u \equiv 2/T_u$  и  $a \equiv (d_u\tau_1 - 1)/(d_u\tau_1 + 1)$  элементы диагональных матриц  $\mathbf{B}$ ,  $\mathbf{P}$  и  $\mathbf{C}$  вычисляются в виде

$$b \equiv (d_u\tau_2 - 1)/(d_u\tau_2 + 1); p \equiv (1 - b)/(1 - a);$$

$$c \equiv p(b - a) \text{ с параметрами } \tau_1 \text{ и } \tau_2.$$

### РЕЗУЛЬТАТЫ КОМПЬЮТЕРНОЙ ИМИТАЦИИ

Пусть мини-спутник массой 250 кг при выводе на солнечно-синхронную орбиту высотой 600 км, наклонением 97.787 град и долготой восходящего узла 30 град, пролетая над восходящим узлом орбиты в момент времени  $t_0 = 0$  отделяется от ракеты-носителя и начинает кувыркать-

ся с модулем вектора угловой скорости  $\omega_0 = 3$  град/с. Предположим, что МП имеет ограничение  $l^m = 10 \text{ А м}^2$  для компонент вектора ЭММ и период  $T_u^m = 4 \text{ с}$  цифрового управления МП, а в цифровом законе управления  $\mathbf{u}_k(\boldsymbol{\sigma}_k, \boldsymbol{\omega}_k)$  кластером ДМ (6) с периодом  $T_u = 0.25 \text{ с}$  и ограничениями  $\omega^m = 1 \text{ град/с}$ ,  $u^m = 0.3 \text{ град/с}^2$  коэффициенты  $k_\sigma^d$  и  $k_\omega^d$  были рассчитаны с параметрами  $T_r = 60T_u$  и  $\xi = 0.95$ .

На рис. 4 представлены результаты компьютерной имитации изменения вектора угловой скорости  $\boldsymbol{\omega}(t)$  мини-спутника при цифровом управлении как МП, так и кластером ДМ во всех начальных режимах ориентации. Здесь для заданного значения  $\omega_1^* = 0.5 \text{ град/с}$  автоматически определяется момент времени  $t_1^* = 6336 \text{ с}$  завершения режима успокоения КА, а также значения  $\Lambda_{*1}$ ,  $\boldsymbol{\omega}_1^*$ ,  $\boldsymbol{\sigma}_{*1}^c \equiv \mathbf{e}_{*1}^c \text{tg}(\Phi_{*1}^c/4)$  при

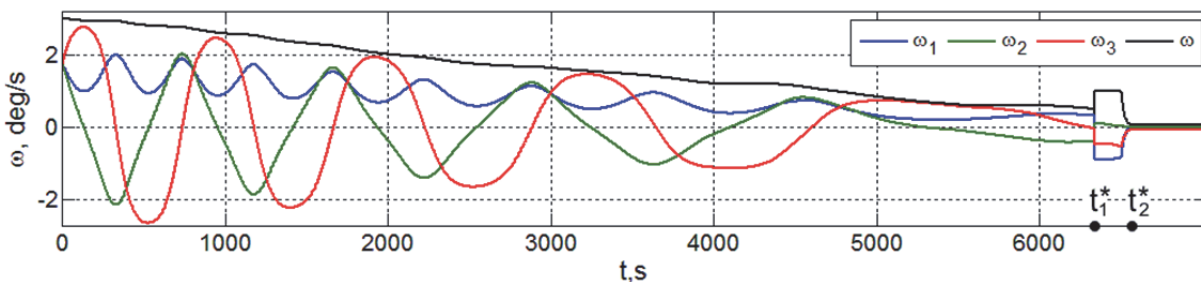


Рис. 4. Изменение вектора угловой скорости при цифровом управлении МП и кластером ДМ

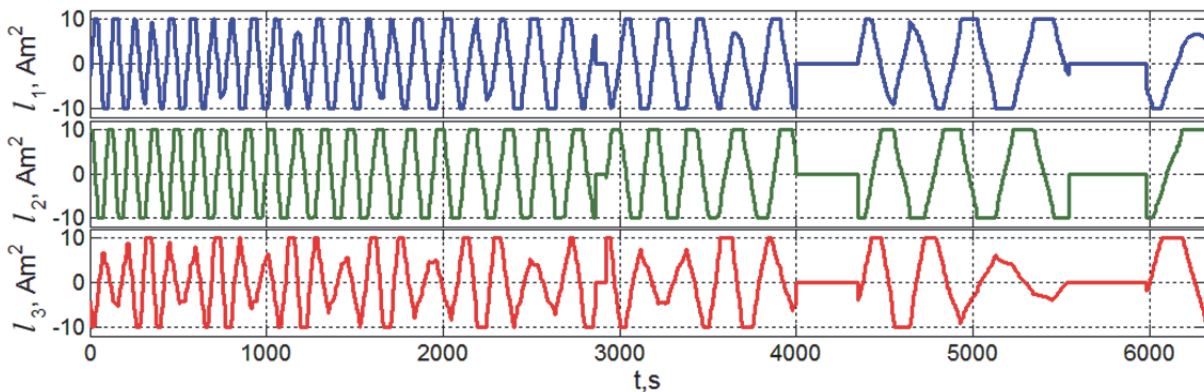


Рис. 5. Изменение вектора электромагнитного момента при цифровом управлении МП в режиме успокоения

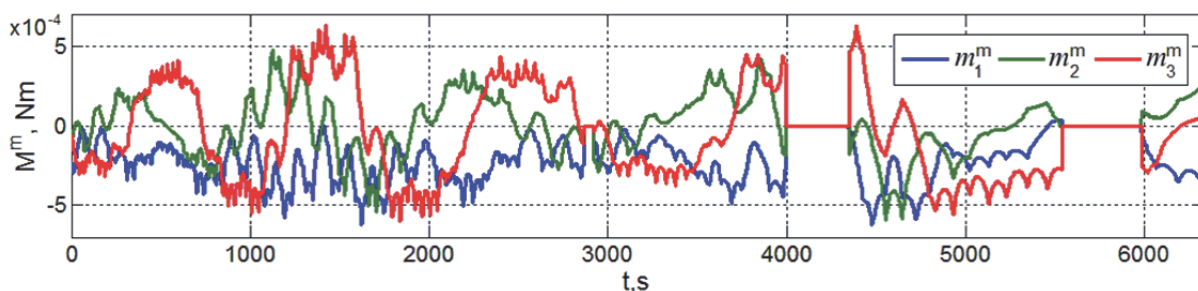


Рис. 6. Изменение вектора механического момента при цифровом управлении МП в режиме успокоения

$\Phi_{*1}^e = 175.56$  град и  $\omega_{*1}^e = \omega_{*1} - C_{*1}^e \omega_{*1}^o$ . Изменения векторов  $\mathbf{L}$  и  $\mathbf{M}^m$  магнитного привода в этом режиме представлены на рис. 5 и 6. При заданном значении  $\Phi_{*2}^e = 0.083$  град векторный закон  $\tilde{\mathbf{m}}_k$  в (6) переключается от (7) к (8) в момент времени  $t_2^* = 6583.6$  с. Изменение углов Эйлера-Крылова  $\delta\phi_1$  (крен, синий цвет),  $\delta\phi_2$  (рыскание, зеленый),  $\delta\phi_3$  (тангаж, красный) и угол  $\Phi^e$  (черный цвет) собственного поворота КА в ОСК  $\forall t \geq t_1^* = 6336$  с представлены на рис. 7, а некоторые детали изменения векторов  $\omega$ ,  $\mathbf{M}^r$  и  $\mathbf{m}$  в процессе приведения ориентации КА в ОСК – на рис. 8, 9 и 10. Наконец, на рис. 11 и 12 приведены ошибки по угловым скоростям  $\delta\omega_i$  и углам  $\delta\phi_i$  при переходе СУО в установивший режим угловой стабилизации мини-спутника в орбитальной системе координат.

Здесь были учтены все шумы измерений и возмущающие моменты, тщательная дискрет-

ная фильтрация измерений и выбор параметров в автономных цифровых законах управления позволили добиться хороших результатов по точности СУО мини-спутника в начальных режимах его ориентации.

### ПРОВЕРКА РАБОТОСПОСОБНОСТИ СИСТЕМЫ УПРАВЛЕНИЯ ОРИЕНТАЦИЕЙ

Проверка работоспособности СУО в режимах начальной ориентации является весьма ответственной, здесь требуется особая тщательность при определении работоспособности кластера ДМ. В случае отказа необходимо провести быструю диагностику с определением конкретного отказавшего двигателя-маховика.

Алгоритм бортовой диагностики состояния СУО использует её эталонную модель для имитации номинального управления движением КА в реальном времени. Здесь для обнаружения аномальной ситуации на каждом контрольном

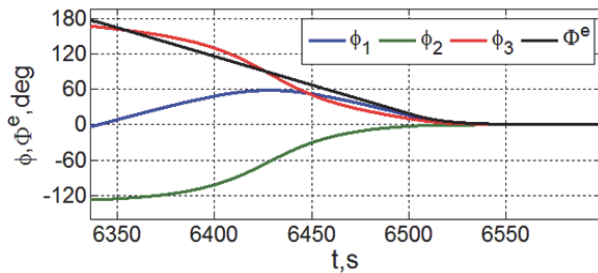


Рис. 7. Углы Эйлера-Крылова и угол вращения КА в ОСК

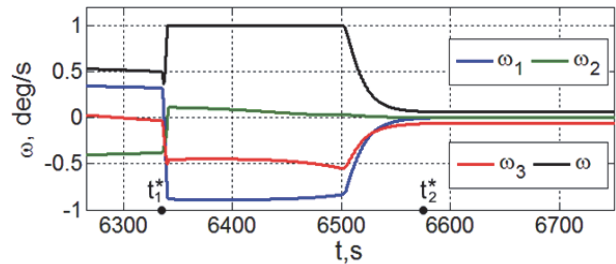


Рис. 8. Изменение вектора  $\omega$  при приведении КА к ОСК

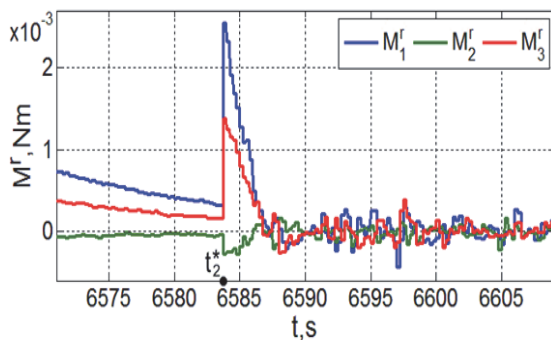


Рис. 9. Изменение вектора моментов кластера ДМ

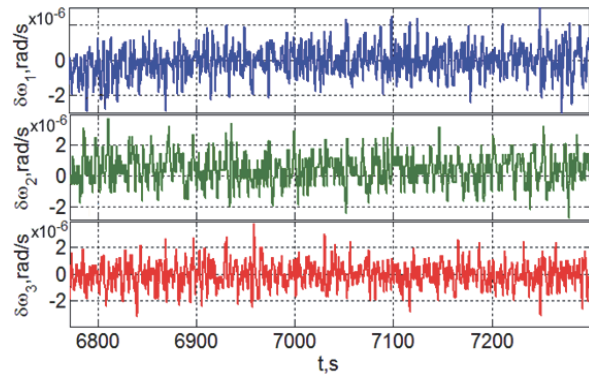


Рис. 11. Изменение вектора  $\delta\omega$  в режиме стабилизации КА

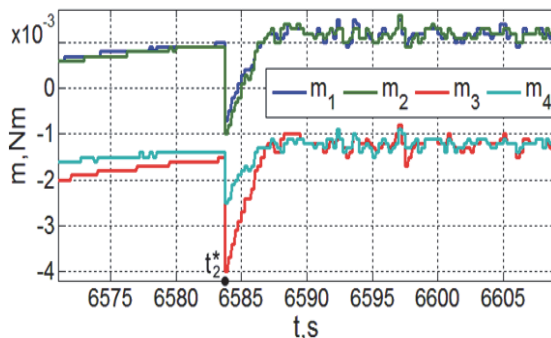


Рис. 10. Изменение управляющих моментов четырёх ДМ

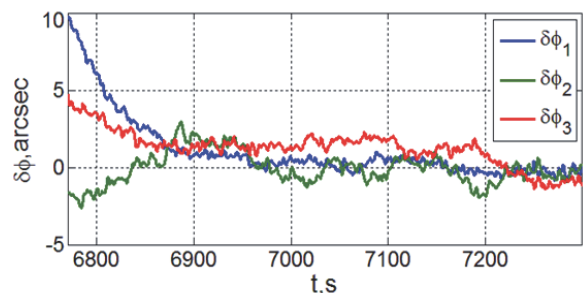


Рис. 12. Изменение вектора  $\delta\phi$  в режиме стабилизации КА

периоде вычисляется вектор рассогласований  $\hat{\mathbf{e}} = \{\hat{e}_i\} = \mathbf{x} - \hat{\mathbf{x}}$  между векторами измеренных  $\mathbf{x} = \{x_i\}$  и моделируемых  $\hat{\mathbf{x}} = \{\hat{x}_i\}$  координат.

Применяемый подход к диагностике СУО и принятию решения о неисправности заключается в следующем. Изменение во времени диагностических параметров  $\hat{\mathbf{e}}_j(t)$  с индексом отказа  $j = 1, 2$  можно рассматривать как случайный процесс, характеристики которого зависят от множества факторов. Поэтому классификацию нужно вести не по детерминированным мгновенным значениям рассогласований  $\hat{\mathbf{e}}_j(t)$  в конце каждого контрольного периода  $T_u$ , а как случайный процесс, представленный дискретной последовательностью значений  $\hat{\mathbf{e}}_j = \hat{\mathbf{e}}_j(t_k)$ ,  $t_{k+1} = t_k + T_u$  для скользящего окна таких измерений. Классификация отказов с использованием обработки данных случайного процесса в таком окне реализована в нашей модификации [8] алгоритма последовательного контроля отношения вероятностей (ПКОВ, А. Wald, 1954), детали представлены также в [9].

### ЗАКЛЮЧЕНИЕ

Для приведения ориентации космического аппарата от произвольной к требуемой используется автономное угловое наведение и модульно ограниченное векторное цифровое управление с применением вектора модифицированных параметров Родрига. Автономные векторные цифровые законы управления магнитным приводом и минимально избыточным кластером двигателей-маховиков применяются соответственно для успокоения кувыркающегося мини-спутника после его отделения от ракеты-носителя и приведения его ориентации в заданное положение в орбитальной системе координат без какой-либо реактивной двигательной установки.

Основными достижениями работы являются: (i) автономное векторное цифровое управление минимально-избыточным кластером двигателей-маховиков при явном распределении вектора управляющего момента между маховиками с учетом ограниченных ресурсов кластера по векторам управляющего момента и кинетического момента; (ii) разгрузка кластера двигателей-маховиков от накопленного кинетического момента при помощи магнитного привода с цифровым управлением по оригинальной схеме компенсации; (iii) встроенная дискретная идентификация и цифровая компенсация момента сил сухого трения на оси вращения каждого маховика.

Представлены разработанные методы и алгоритмы автономного наведения и цифрового управления мини-спутником землеобзора в на-

чальных режимах ориентации, а также результаты компьютерной имитации с учетом всех шумов измерений и возмущающих моментов. Эти результаты продемонстрировали хорошую точность системы ориентации мини-спутника, достигаемую тщательной дискретной фильтрацией измерений и выбором параметров в простых цифровых законах управления. Кратко рассмотрена проблема проверки работоспособности системы ориентации мини-спутника и представлены разработанные дискретные алгоритмы бортовой диагностики и классификации отказов, основанные на компьютерной обработке доступных измерений и явных соотношениях.

Разработанные алгоритмы автономного наведения, цифрового управления и мониторинга состояния миниатюрных геодезических спутников просты, надежны и реализуемы в космической технике [1].

### СПИСОК ЛИТЕРАТУРЫ

1. *Testoyedov N., Rayevsky V., Somov Ye., Titov G., Yakimov Ye.* Attitude and orbit control systems of Russian communication, navigation and geodesic satellites: History, present and future // IFAC-PapersOnLine. 2017, vol. 50, no. 1, pp. 6422-6427.
2. *Somov Ye., Butyrin S., Somov S., Somova T.* Control of robot-manipulator during its preparation and capture of a passive satellite // Mathematics in Engineering, Science and Aerospace, 2019, vol. 10, no. 3, pp. 421-432.
3. *Somov Ye., Starinova O., Butyrin S.* Pulse-width control of electro-reaction engines for a station-keeping of a land-survey satellite on sun-synchronous orbit // Procedia Engineering, 2017; vol. 185, pp. 267-274.
4. *Somova T.* Satellite attitude guidance and economical digital control during initial modes // Mathematics in Engineering, Science and Aerospace. 2018, vol. 9, no. 3, pp. 365-372.
5. *Сомов Е.И., Бутырин С.А., Сомова Т.Е.* Автономное наведение и управление ориентацией космического аппарата в режиме слежения // Известия Самарского научного центра Российской академии наук. 2019. Т. 21. № 5. С. 96-107.
6. *Somova T.* Attitude guidance and control, simulation and animation of a land-survey mini-satellite motion // Journal of Aeronautics and Space Technologies. 2016. Vol. 9, no. 2, pp. 35-45.
7. *Somov Ye.* Feedback linearization and VLF techniques on the synthesis of spacecraft's gyromoment attitude control systems // Proceedings of 1996 IEEE International Conference on Systems, Man and Cybernetics. Information Intelligence and Systems. Beijing. 1996, vol. 4, pp. 2522-2527.
8. *Somov Ye., Rodnischchev N., Somova T.* Health checking of a spacecraft control system in the orientation initial modes // Proceedings of 2019 IEEE International Workshop on Metrology for Aerospace;

- Turin.2019, pp. 619-623.
9. Somov Ye., Rodnishchev N. Active fault tolerant gyromoment control of information satellites and free-flying robots // Proceedings of 2018 IEEE International Workshop on Metrology for Aerospace, Rome. 2018, p. 166-170.

**AUTONOMOUS DIGITAL CONTROL OF THE EARTH GEODETIC MINI-SATELLITE  
IN INITIAL ORIENTATION MODES**

©2020 S.Ye. Somov<sup>1,2</sup>, T.Ye. Somova<sup>2</sup>

<sup>1</sup> Samara Federal Research Centre, Russian Academy of Sciences, Samara, Russia

<sup>2</sup> Samara State Technical University, Samara, Russia

Methods for guidance and motion control of a space robot during a flyby of a geostationary satellite at a visual monitoring its technical state are considered. Numerical results are presented that demonstrate the effectiveness of the developed discrete guidance and control algorithms.

*Key words:* a space robot, a geostationary satellite, a visual monitoring the state, control.

DOI: 10.37313/1990-5378-2020-22-5-84-93

---

*Sergey Somov, Researcher of Department "Dynamics and Motion Control", Samara Federal Research Centre, Russian Academy of Sciences; Researcher of Department "Navigation, Guidance, and Motion Control", Research Institute for Problems of Mechanical Systems Reliability, Samara State Technical University. E-mail: s\_somov@mail.ru*

*Tatyana Somova, Researcher of Department "Navigation, Guidance and Motion Control", Research Institute for Problems of Mechanical Systems Reliability, Samara State Technical University. E-mail: te\_somova@mail.ru*